

Løsningsforslag TTK 4105 reguleringssteknikk

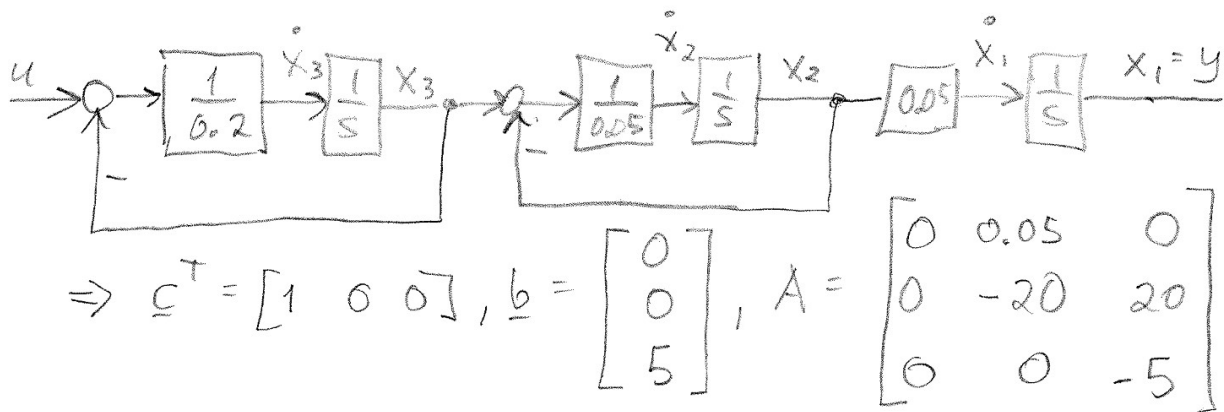
9. august 2005 (T.A.)

$$1a) h_{\phi z} = \frac{0.05}{s(1+0.2s)(1+0.05s)} = \frac{5}{s^3 + 25s^2 + 100s}$$

Metode I: fasevariabel form, (V.13):

$$\underline{c}^T = [5 \ 0 \ 0], \underline{b} = \begin{bmatrix} 0 \\ 0 \\ 1 \end{bmatrix}, A = \begin{bmatrix} 0 & 1 & 0 \\ 0 & 0 & 1 \\ 0 & -100 & -25 \end{bmatrix}$$

Metode II: danne elementært blokkdiagram:



Begge svar godtas!

1b) h_0 med bare K_p får to rene integrasjoner i serie med tre 1.-ordensledd. $\angle h_0$ vil da $< -180^\circ \forall K_p$. Systemet vil være ustabilt $\forall K_p$.

1c) $h_t = K_t$ endrer h_{uz} til $h_{uz}^{(2)} = \frac{50}{s(1+0.02s)} \frac{1}{1 + K_t \frac{50}{s(1+0.02s)}}$
 $\Rightarrow h_{uz}^{(2)} = \frac{50}{0.02s^2 + s + 50K_t} \Rightarrow \angle h_{uz}^{(2)} = 0$ for lave frekvenser, og kan holdes nær 0 til høy båndbredde ved å velge K_t stor. Mens $\angle h_{uz}$ starter med -90° ved lav frekvens, og faller mot -180° for $\omega > 50$. $\Rightarrow h_{uz}^{(2)}$ gjør stabilt system mulig! MEN:

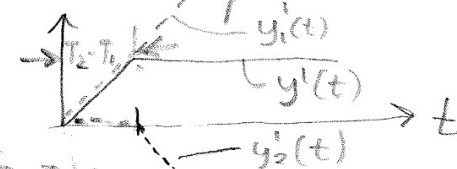
Samtidig forsvinner den ene av to rene integra-
sjoner i h_0 . Dermed minsker systemet enen til 0°
følge referansen uten stasjonært avvik.

2a) Sprangresponsen kan betraktes som en
sum av to responser: $k_1 \mu_1(t) + (k_2 - k_1)(1 - e^{-\frac{t}{T}})$

Laplace transformert er dette $\frac{k_1}{s} + (k_2 - k_1) \frac{1}{s(1+Ts)} = h(s) \frac{1}{s}$

$$\Rightarrow h(s) = k_1 + \frac{k_2 - k_1}{1+Ts} = \frac{k_1 + k_1 Ts + k_2 - k_1}{1+Ts} = k_2 \frac{1 + \frac{k_1}{k_2} Ts}{1+Ts}$$

2b) Deler problemet i to. Setter først $T_1 = 0$ og finner
en transferfunksjon $h'(s)$. Responsen kan spaltes
opp i komponenter som vi ser her:



$$y'(t) = y'_1(t) + y'_2(t)$$

$$y'(s) = y'_1(s) + y'_2(s) = \frac{k}{T_2 - T_1} \cdot \frac{1}{s^2} - \frac{k}{T_2 - T_1} \frac{1}{s} e^{-(T_2 - T_1)s} = h'(s) \cdot \frac{1}{s}$$

$$\Rightarrow h'(s) = \frac{k}{T_2 - T_1} \cdot \frac{1}{s} (1 - e^{-(T_2 - T_1)s})$$

Siden den egentlige responsen er forskjøvet T_1 til høyre, blir
da $h(s) = h'(s) e^{-T_1 s} = \frac{k}{T_2 - T_1} \cdot \frac{1}{s} (e^{-T_1 s} - e^{-T_2 s})$

2c) Begge er a.s.!
For impuls-
responsene $\rightarrow 0$ når
sprangresponsene \rightarrow konst.

$$3a) h_0 = K_p \frac{1+Ts}{Ts} \cdot \frac{e^{-Ts}}{1+Ts} = \frac{K_p}{Ts} e^{-Ts} \text{ når } T_1 = T.$$

$\angle h_0 = -90^\circ - \omega\tau$, spesielt er $-180^\circ = -90^\circ - \omega_{180}\tau \Rightarrow \omega_{180} = \frac{180}{2\tau}$
eller $\frac{\pi}{2\tau}$ i radianer, som brukes fra nå av (dette mellomres-
ultatet var jo oppgitt.)

$$|h_0| = \frac{K_p}{T\omega} \Rightarrow \frac{K_{p,krit}}{T\omega_{180}} = 1, \text{ da er } \omega_c = \omega_{180}, \text{ og vi er på stab.grensa.}$$

$$\text{Dette gir } K_{p,krit.} = \omega_{180} \cdot T = \frac{\pi}{2} \cdot \frac{T}{\tau}$$

$$3b) \Delta K = 6 \text{ dB betyr at } K_p = 0.5 \cdot K_{p,krit.} = \frac{\pi}{4} \cdot \frac{T}{\tau}$$

Vi må sjekke hva slags ψ dette innebærer: Kryssfrekvensen ω_c
gis av $|h_0(j\omega_c)| = 1 \Leftrightarrow \frac{K_p}{T\omega_c} = 1 \Rightarrow \omega_c = \frac{K_p}{T} = \frac{\pi}{4\tau}$

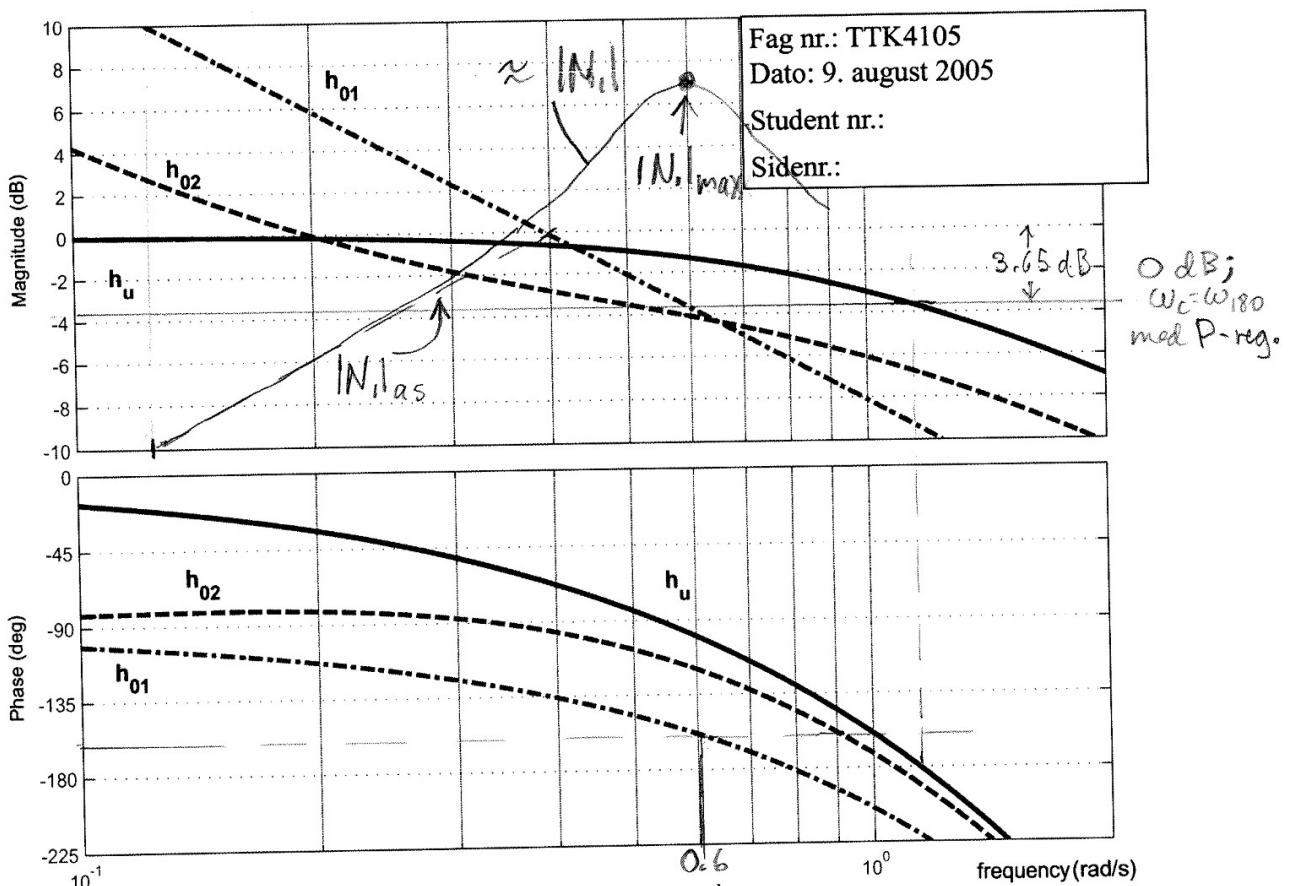
— side 3 —

$$\psi = \angle h_o(j\omega_c) - \angle h_o(j\omega_{180}) = -\frac{\pi}{2} - \omega_c \tau - (-\pi)$$

$$= \frac{\pi}{2} - \frac{\pi}{4\tau} \cdot \tau = \frac{\pi}{4} = 45^\circ.$$
 Med andre ord innfrir den initielt valgte K_p også allekirat kravet til ψ , noe som er urvanlig, og som vi måtte sjekke. Vi står derfor fast ved $K_p = \frac{\pi T}{4\tau}$.

3c) Fra h_u i Bodediagrammet: 0-dB linja kan flyttes ≈ 3.65 dB ned. Dette svarer til at $K_{p,krit.} = K_{pk} = 10^{(3.65/20)} \approx 1.92$. Fra tabell (V.12): $K_p = 0.45 K_{pk} = \underline{0.685}$

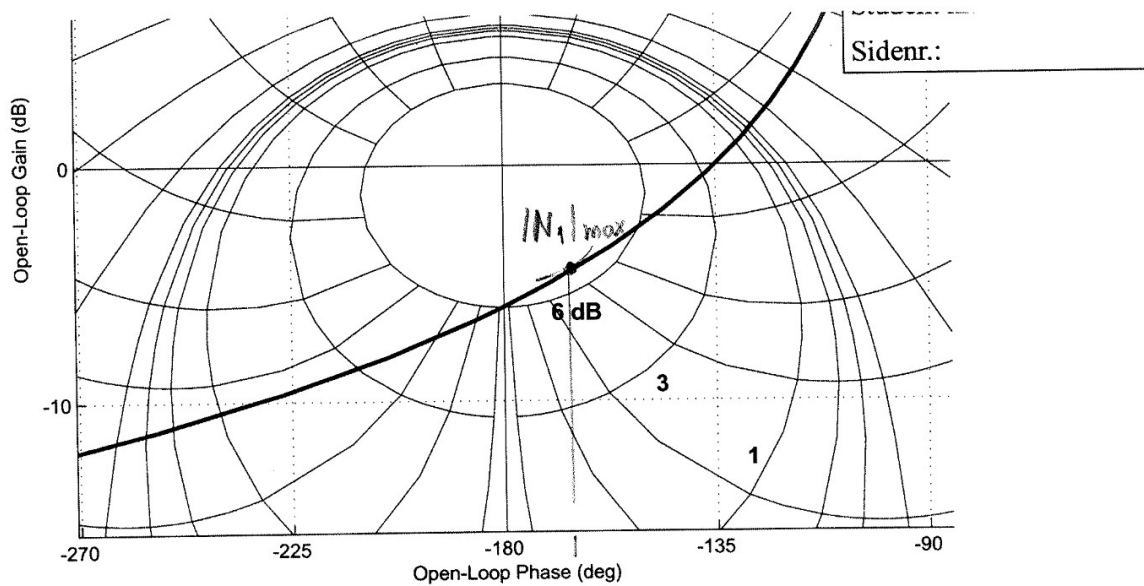
Vi leser av ω_{180} i Bode diagrammet: $\omega_{180} \approx 1.14$
 Fra tabell (V.12): $T_i = T_k / 1.2 = \frac{2\pi}{\omega_{180} \cdot 1.2} = \frac{2\pi}{1.14 \cdot 1.2} = \underline{4.6}$



figur 3.2

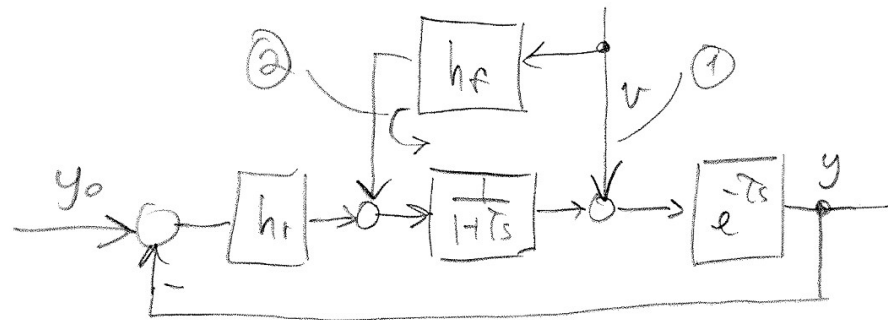
- side 4 -

3d) h_{02} har betydelig lavere kryssfrekvens enn h_{01} , \Rightarrow h_{r2} gir langtremmere regulering enn h_{r1} . Samtidig oppfyller h_{r1} kravene til ΔK og Ψ , ifr. a). (uten at dette kreves, så kan man avlese en uimålelig stor faremargin for $h_{02} \approx 160^\circ$!). Vi velger derfor h_{r1} , altså den første metoden!



3e) $|N_1|_{\max}$ avleses til ca. 7 dB. Litt høy. K_p i h_{r1} kan reduseres litt, eller T_i kan økes litt, slik at $|N_1|_{\max} < 6$ dB. Viser at $\angle h_{01} \approx -167^\circ$ ved $|N_1|_{\max}$. Fra Bode-diagrammet gir dette at ω er ca. 0.6 ved $|N_1|_{\max}$ (tilsvarende kunne vi ha båret $|h_{01}|$ godtas også!) Se grov skisse av $|N_1|$ i Bodediagram forrige side.

3 f)



3g) For fullständig kancellering av v 's verknining:

$$h_{fi} \cdot \frac{1}{1+Ts} + 1 = 0 \Rightarrow h_{fi} = -(1+Ts)$$

Erstattes med mer realistisk $h_f = -\frac{1+Ts}{1+\alpha Ts}$, $0 < \alpha < 1$
som ikke har $h_f(j\infty) = \infty$.

3h) Fra blokkdiagrammet i 3f): Liten T gjør den parallelle greina ② merken like raske som greina ①. Stor τ gjør at virkninga av v tas hånd om av h_r mye senere, og h_f blir dermed relativt viktigere. $\frac{T}{\tau}$ bør derfor være minst mulig for å få størst effekt av h_f .

4) Se læreboka, eksempel 11.6

Oppgave 5 a)

$$\begin{cases} \dot{x}_1 = x_2 \\ \dot{x}_2 = -x_1 - \alpha(x_1^2 - 1)x_2 \end{cases} = \underline{f}(\underline{x})$$

5b) Bruker (V.8): $A = \left\{ \frac{\partial f_i}{\partial x_j} \right\} = \begin{bmatrix} 0 & 1 \\ -1 - 2\alpha x_1^p x_2^p & -\alpha(x_1^p - 1) \end{bmatrix}$

5c) Newtons 2. lov for lineært m-f-d-system

$$F = ma \Leftrightarrow -kx - f\dot{x} = m\ddot{x} \Leftrightarrow m\ddot{x} + f\dot{x} + kx = 0$$

Sammenholder dette med (4.1), får vi $\begin{cases} m = 1 \\ k = 1 \\ f = \alpha(x^2 - 1) \end{cases}$

Eigenverdier fra 5b) gir av

$$|\lambda I - A| = 0 \Leftrightarrow \lambda^2 + \alpha((x_1^p)^2 - 1)\lambda + (1 - 2\alpha x_1^p x_2^p)$$

$$\Rightarrow \lambda_{1,2} = \frac{-\alpha((x_1^p)^2 - 1) \pm \sqrt{(\alpha^2((x_1^p)^2 - 1)^2 - 4(1 - 2\alpha x_1^p x_2^p)}}{2}$$

Hvis $|x_1^p| \ll 1$, ser vi at $\text{Re}(\lambda_1) > 0$ når $\alpha > 0$; systemet er ustabilt. Dermed kan systemet aldri komme til ro i det eneste mulige likevektspunkt $\underline{x} = \underline{0}$.

Alternativt, enklere og mer "fysisk":

"Dempningskonstanten" f blir < 0 for små x .

Systemet blir da ustabilt.